

УДК 532.517.4

ЧИСЛЕННОЕ МОДЕЛИРОВАНИЕ ФОРМИРОВАНИЯ И ДВИЖЕНИЯ ТУРБУЛЕНТНЫХ ВИХРЕВЫХ ОБЛАКОВ

© 2023 г. М. А. Засимова^{a,*}, В. В. Рис^a, Н. Г. Иванов^a

^aСанкт-Петербургский политехнический университет Петра Великого,
Санкт-Петербург, Россия

*e-mail: zasimova_ma@spbstu.ru

Поступила в редакцию 01.02.2023 г.

После доработки 25.05.2023 г.

Принята к публикации 06.06.2023 г.

Представлены результаты численного моделирования формирования и движения турбулентных вихревых облаков, возникающих в результате выдува импульсных струй с различными начальными скоростями и длительностью. Принята модель осесимметричного турбулентного течения, описываемого нестационарными уравнениями Рейнольдса. Показано, что независимо от начальных условий через один и тот же промежуток безразмерного времени от момента начала истечения струи возникает вихревое облако, которое имеет форму, близкую к сферической. Наведенное вихрем течение в остальном пространстве близко к потенциальному. Установлено, что профили скорости в вихрях в осевом и поперечном направлениях близки к автомодельным и схожи для различных условий истечения импульсных струй. Приведены и проанализированы зависимости от времени геометрических и кинематических характеристик вихревых облаков: положения центра облака (точки с максимальной скоростью) и радиуса сферы, эквивалентной по объему вихревому облаку, а также максимальной и средней скоростей. Для исследованных условий истечения струй характеристики вихревых облаков оказываются сходными.

Ключевые слова: импульсная струя, турбулентное вихревое облако, автомодельность, численное моделирование

DOI: 10.31857/S1024708423600100, **EDN:** YUIZZD

Задачи динамики турбулентных, свободно конвективных или движущихся вынужденно под воздействием начального импульса компактных вихревых облаков (англ. – puff) на протяжении длительного времени служили предметом исследования при изучении процессов горения и атмосферных явлений. В последнее время пандемийный характер распространения вирусных заболеваний сделал остроактуальными задачи аэродинамики переноса инфекции при обычных (дыхание, разговор, пение) и острых (кашель, чихание) респираторных явлениях [1, 2]. Последние относятся к наиболее опасным, так как сопровождаются образованием вихревых облаков и повышенным выбросом вирусодержащей капельной среды.

В результате экспериментальных исследований были определены время выдыхания воздуха при однократном кашле (типичная величина – 0.7 с) и временная зависимость расхода выдыхаемого воздуха, которая имеет несимметричную колоколообразную форму с максимумом при скорости истечения около 20 м/с и передним фронтом, более крутым по сравнению с задним [3]. При однократном кашле формируется импульсная турбулентная струя (число Рейнольдса, определенное по максимальной скорости, имеет порядок 10^4), трансформирующаяся в турбулентное вихревое облако, которое может распространяться в покоящейся среде на значительное, до семи метров, расстояние [4]. Это свойство вихревых облаков, сопровождающих острые респираторные явления, противоречит рекомендациям ВОЗ о социальной дистанции 1.5–2 м и служит побудительным мотивом к продолжению исследований, в том числе с использованием современных технологий прямого численного моделирования (DNS, Direct Numerical Simulation) [5–7]. Отметим, что расчетами на основе подхода DNS получены поля случайных характеристик только для однократного воспроизведения острого респираторного явления при пониженных числах Рейнольдса (порядка 10^3) и, что весьма существенно, для коротких промежутков времени, пре-восходящих время истечения струи не более, чем в 5 раз.

Течение, формирующееся в результате импульсного выдува из отверстия диаметром d , характеризуют величиной параметра $P = (L_0/d)^{1/3}$ (англ. – piston ratio), в котором $L_0 = V_0 T_0$ – протяженность “воздушного поршня” при выдуве, T_0 и V_0 – время выдува и средняя за это время скорость среды в отверстии [8]. Если величину L_0/d представить как отношение объемов “воздушного поршня” $Vol = L_0 \cdot (\pi/4) \cdot d^2$ и цилиндра $(\pi/4) \cdot d^3$, высота которого равна диаметру, то параметр P приобретает смысл отнесенного к диаметру отверстия линейного масштаба объема, добавленного импульсной струей во внешнюю среду. Принято считать [8], что вихревые облака образуются, если значения параметра P находятся в диапазоне $1.6 < P < 8$, который соответствует условиям выдоха при острых респираторных явлениях. При меньших значениях P образуются вихревые кольца, а при больших – нестационарные струи. Вихревые кольца сплющены в продольном направлении, а нестационарные струи заметно вытянуты в продольном направлении. Таким образом, турбулентные вихревые облака занимают промежуточное положение между вихревыми кольцами [9, 10] и нестационарными струями [11]. Главное отличие вихревых облаков от других типов течения состоит в том, что их продольные и поперечные (относительно направления движения импульсной струи) размеры сопоставимы, а форма близка к сферической.

Следуя [12–15], покажем, что для вихревого облака из условия сохранения количества движения вытекают свойства автомодельности. Пусть в момент времени T_0 импульсное струйное истечение со скоростью V_0 закончилось, и образовавшееся облако с количеством движения $I_0/\rho = Vol V_0$ распространяется в направлении, заданном струей. Текущий объем облака выразим через его характерный размер $Vol \sim R(t)^3$. Экспериментально установлено, что существует линейная связь между пройденным облаком расстоянием $L(t)$ и его размером $R(t)$ [13–15]. В частности, в [14] получено $R(t) = 0.18L(t)$, откуда следует $Vol \sim L(t)^3$. Если порядок скорости движения облака определить как $V(t) \sim L(t)/t$, то из условия $I_0/\rho = \text{const}$ следует, что пройденное облаком расстояние отвечает степенной зависимости $L(t) \sim t^{1/4}$, а размер и скорость облака – зависимостям $R(t) \sim t^{1/4}$ и $V(t) \sim t^{-3/4} \sim L(t)^{-3}$ [14].

Результаты DNS-моделирования [5] показали, что течение, образовавшееся после выдува импульсной струи, вполне удовлетворяет масштабным соотношениям для $R(t)$ и $V(t)$. В [6, 7] адекватность DNS-моделирования, проведенного для начального периода формирования вихревого облака вплоть до 180 характерных времен d/V_0 , демонстрируется путем сравнения с экспериментом зависимостей $L(t)$ и линейной связи между $R(t)$ и $L(t)$, близкой к приведенной в [14]. В работах [16–19] нами представлены результаты численного моделирования импульсной струи и вихревого облака в тех же условиях, что и в [6, 7], полученные методом моделирования крупных вихрей (Large Eddy Simulation, LES) и на основе решения нестационарных уравнений Рейнольдса (Unsteady Reynolds-Averaged Navier-Stokes, URANS). Мотивацию этих работ определила возможность моделирования вихревых облаков на протяжении значительно большего времени по сравнению с временем, которое достигнуто моделированием на основе DNS-подхода. Мгновенные картины течения, полученные методом LES, в общих чертах совпадают с картинами, представленными в [6]. Картины течения, полученные методом URANS, на этапе формирования и движения вихревого облака при $t > T_0$ оказались похожими на полученные методом LES.

Задача настоящего исследования заключалась в получении методом URANS количественных характеристик вихревых облаков на безразмерных временных интервалах $tV_0/d > 10^3$, значительно превосходящих время истечения струи $tV_0/d \approx 10^2$. Также изучалась чувствительность характеристик вихревых облаков к условиям подачи импульсной струи: ее скорости и времени истечения.

ПОСТАНОВКА ЗАДАЧИ И МЕТОД РЕШЕНИЯ

Рассматривается течение несжимаемой среды в полупространстве, ограниченном непроницаемой твердой стенкой. На стенке расположено круглое отверстие диаметром d , из которого по нормали к поверхности вытекает импульсная струя. Принимается модель в среднем нестационарного, осредненного по Рейнольдсу, осесимметричного турбулентного течения. Начало цилиндрической системы координат расположим в центре отверстия, а ось z направим в пространство по нормали к ограничивающей стенке. Для определения напряжений Рейнольдса воспользуемся гипотезой Буссинеска; систему уравнений задачи представим в виде

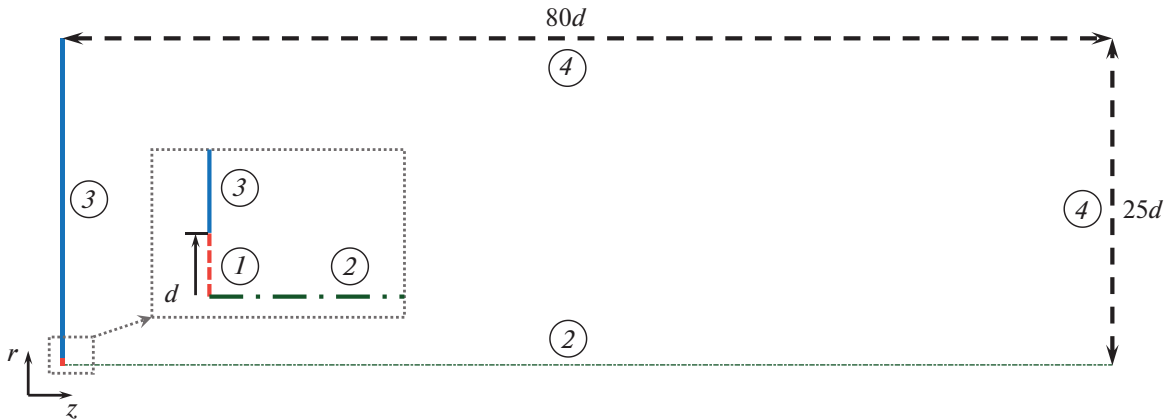


Рис. 1. Схема расчетной области. 1 – входное отверстие, 2 – ось симметрии, 3 – непроницаемая стенка, 4 – проницаемая граница.

$$\begin{aligned} \frac{1}{r} \frac{\partial}{\partial r} (r V_r) + \frac{\partial V_z}{\partial z} = 0, \quad r \frac{\partial V_r}{\partial t} + \frac{\partial}{\partial r} (r V_r^2) + \frac{\partial}{\partial z} (r V_z V_r) = - \frac{r \partial p^*}{\rho} + \frac{\partial}{\partial r} \left[r (v + v_t) \frac{\partial V_r}{\partial r} \right] + \\ + \frac{\partial}{\partial z} \left[r (v + v_t) \frac{\partial V_r}{\partial z} \right] - \frac{V_r}{r} (v + v_t) + r \frac{\partial v_t}{\partial r} \frac{\partial V_r}{\partial r} + r \frac{\partial v_t}{\partial z} \frac{\partial V_z}{\partial z}, \\ r \frac{\partial V_z}{\partial t} + \frac{\partial}{\partial r} (r V_z V_r) + \frac{\partial}{\partial z} (r V_z^2) = - \frac{r \partial p^*}{\rho} + \frac{\partial}{\partial r} \left[r (v + v_t) \frac{\partial V_z}{\partial r} \right] + \frac{\partial}{\partial z} \left[r (v + v_t) \frac{\partial V_z}{\partial z} \right] + r \frac{\partial v_t}{\partial r} \frac{\partial V_r}{\partial z} + r \frac{\partial v_t}{\partial z} \frac{\partial V_z}{\partial z}. \end{aligned}$$

Здесь $V_r(r, z, t)$ и $V_z(r, z, t)$ – радиальная и осевая компоненты вектора осредненной скорости, $p^* = p + 2/3\rho k$ – модифицированное осредненное давление, k – кинетическая энергия турбулентности, ρ , $v = \text{const}$ и v_t – плотность, кинематические коэффициенты молекулярной и турбулентной вязкости соответственно.

В начальный момент времени ($t = 0$) среда в полупространстве покойится: $V_r(r, z, 0) = V_z(r, z, 0) = 0$. В промежуток времени $0 \leq t \leq T_0$ из отверстия вытекает среда со скоростью $V_0(t) = V_z(r \leq d/2, 0, t)$.

Течение, отвечающее поставленной задаче, характеризуется двумя безразмерными параметрами [8]: числом Рейнольдса $Re = V_0 d / v$ и параметром $P = (V_0 T_0 / d)^{1/3}$.

Задача решалась численным методом с использованием гидродинамического пакета ANSYS Fluent (версия 2019r1). Осесимметричное течение, вызванное выдувом импульсной струи из центрального отверстия диаметром d , рассчитывалось в области радиусом $r = 25d$ и протяженностью $z = 80d$, область показана на рис. 1. Границные и начальные условия приведены в табл. 1, здесь V_n и V_t – нормальная и касательная компоненты скорости. Согласно методике, реализованной в использованном вычислительном пакете, на проницаемых границах расчетной области на участках, где жидкость выходит из области, давление полагается заданным и постоянным, а на участках, где поток массы направлен внутрь области, задается постоянное полное давление, и для расчета давления используется аналог соотношения Бернулли. Значение скорости на проницаемых границах находилось путем экстраполяции изнутри расчетной области, при этом на участках входа задается нормальное к поверхности направление скорости втекания. Область численного интегрирования и сформулированные для нее граничные условия выбраны нами такими же, как и в работах [6, 7, 16–19].

Турбулентная вязкость, \bar{v}_t , находится с помощью $k-\epsilon$ RNG-модели турбулентности [20]. Согласно $k-\epsilon$ RNG-модели, поле турбулентной вязкости определяется из дифференциального уравнения:

$$d \left(\frac{k}{\sqrt{\epsilon} v} \right) = 1.72 \frac{(v + v_t)/v}{\sqrt{[(v + v_t)/v]^3 - 1 + C_v}} d [(v + v_t)/v],$$

где $C_v = 100$. Кинетическая энергия турбулентности k и скорость диссипации ε определяются решением уравнений

$$\frac{\partial k}{\partial t} + V_r \frac{\partial k}{\partial r} + V_z \frac{\partial k}{\partial z} = \frac{\partial}{\partial z} \left[\alpha_k (v + v_t) \frac{\partial k}{\partial z} \right] + \frac{1}{r} \frac{\partial}{\partial r} \left[\alpha_k (v + v_t) r \frac{\partial k}{\partial r} \right] + P_k - \varepsilon,$$

$$\frac{\partial \varepsilon}{\partial t} + V_r \frac{\partial \varepsilon}{\partial r} + V_z \frac{\partial \varepsilon}{\partial z} = \frac{\partial}{\partial z} \left[\alpha_\varepsilon (v + v_t) \frac{\partial \varepsilon}{\partial z} \right] + \frac{1}{r} \frac{\partial}{\partial r} \left[\alpha_k (v + v_t) r \frac{\partial \varepsilon}{\partial r} \right] + C_{1\varepsilon} \frac{\varepsilon}{k} P_k - C_{2\varepsilon} \frac{\varepsilon^2}{k} - R_\varepsilon.$$

Здесь $P_k = v_r S$ – генерационное слагаемое, $S = \sqrt{2S_{ij}S_{ij}}$ – модуль тензора скоростей деформаций, $C_{1\varepsilon} = 1.42$, $C_{2\varepsilon} = 1.68$. Обратные турбулентные числа Прандтля принимаются равными $\alpha_k = \alpha_\varepsilon = \alpha$, и согласно теории ренормализационной группы (RNG-теории) рассчитываются из уравнения:

$$\left| \frac{\alpha - 1.3929}{\alpha_0 - 1.3929} \right|^{0.6321} \left| \frac{\alpha - 2.3929}{\alpha_0 - 2.3929} \right|^{0.3679} = \frac{v}{v + v_t}.$$

Последнее слагаемое в уравнении для ε определяется по следующей формуле:

$$R_\varepsilon = \frac{C_\mu \eta^3 (1 - \eta/\eta_0) \varepsilon^2}{1 + \beta \eta^3} \frac{k}{k},$$

где $\eta = Sk/\varepsilon$, $\eta_0 = 4.38$, $\beta = 0.012$, $C_\mu = 0.0845$.

Настройка $k-\varepsilon$ RNG модели турбулентности проводилась, в том числе, при расчете модельных сдвиговых течений [21]. Основное отличие $k-\varepsilon$ RNG-модели от стандартной $k-\varepsilon$ модели, отработанной в том числе и для моделирования осесимметричных струйных течений, состоит в способе определения турбулентной вязкости и в дополнении уравнения переноса скорости диссипации источником членом R_ε , полученным в результате приложения метода ренормализационной группы к описанию однородной изотропной турбулентности и турбулентности в слое с однородным сдвигом. В работе [21] показано, что для струйных течений $k-\varepsilon$ RNG модель турбулентности дает несколько лучшие результаты моделирования по сравнению со стандартной моделью и ее модификациями.

На входе в расчетную область задавались постоянные значения турбулентной вязкости ($v_{t0}/v = 10$) и интенсивности турбулентности ($I_0 = 5\%$), которые в коде пересчитываются во входные значения k и ε . Эти условия соответствуют умеренному уровню турбулентности вблизи входного отверстия, существенно меньшему уровня $I \approx 60\%$, полученного в наших расчетах в слое смешения импульсной струи. Ниже, в разделе, описывающем формирование и движение вихревого облака, показано, что изменение входных значений v_{t0}/v и I_0 в очень широком диапазоне влияет только на начальную стадию течения, близкую по продолжительности к времени истечения импульсной струи.

При проведении настоящих расчетов в пакете ANSYS Fluent активировались схемы дискретизации второго порядка точности по пространству и времени. В расчетах использовались сетки с прямоугольными элементами, размерность базовой расчетной сетки составила $N_r \times N_z = 85 \times 102$ ячеек. Проведено исследование сеточной чувствительности решения, для этого базовая сетка была измельчена по обоим координатным направлениям в два и четыре раза. Решения, полученные на разных сетках, оказались практически тождественными, что позволило сделать заключение о слабой сеточной зависимости.

ФОРМИРОВАНИЕ И ДВИЖЕНИЕ ВИХРЕВОГО ОБЛАКА

Особенности формирования и движения вихревого облака рассматриваются на примере базового варианта расчета со значениями определяющих параметров $P = 3.63$ и $Re = 3000$. На рис. 2 и 3 представлены картины течения в начальной фазе формирования вихревого облака. Показаны цветные карты полей безразмерной продольной компоненты скорости V_x/V_c и безразмерного модуля завихренности Ω/Ω_{max} для разных моментов безразмерного времени $t' = tV_0/d$ от начала истечения струи: $t' = 24, 72$ и 120 (в рассматриваемом варианте выпуск струи оканчивается при $t' = 48$). Локальные масштабы осевой скорости и завихренности определены следующим образом. Скорость V_c – максимальная продольная скорость для данного момента времени; ей соответствует точка $C(0, z_c)$, которую будем считать центром вихревого облака. Величина

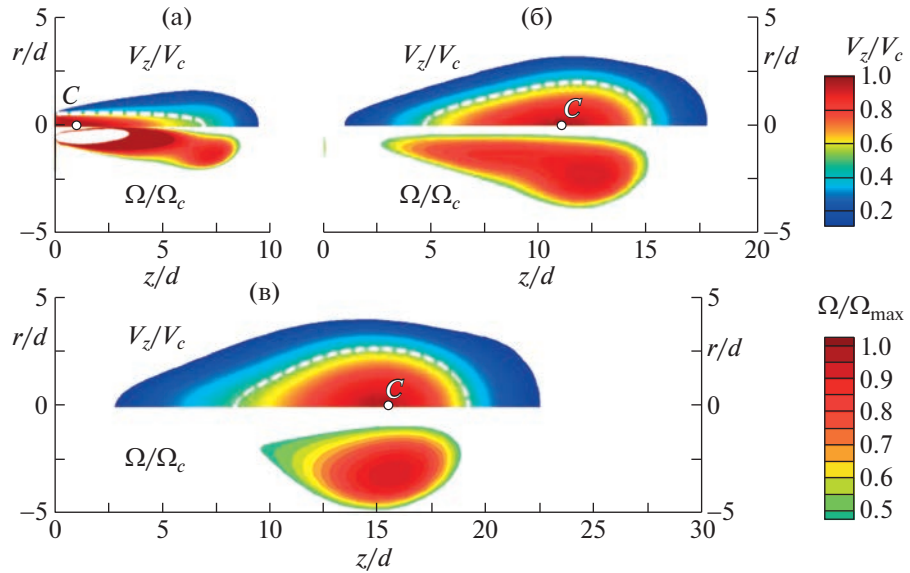


Рис. 2. Поля продольной скорости и завихренности в различные моменты времени: (а) $t' = 24$, (б) $t' = 72$ и (в) $t' = 120$.

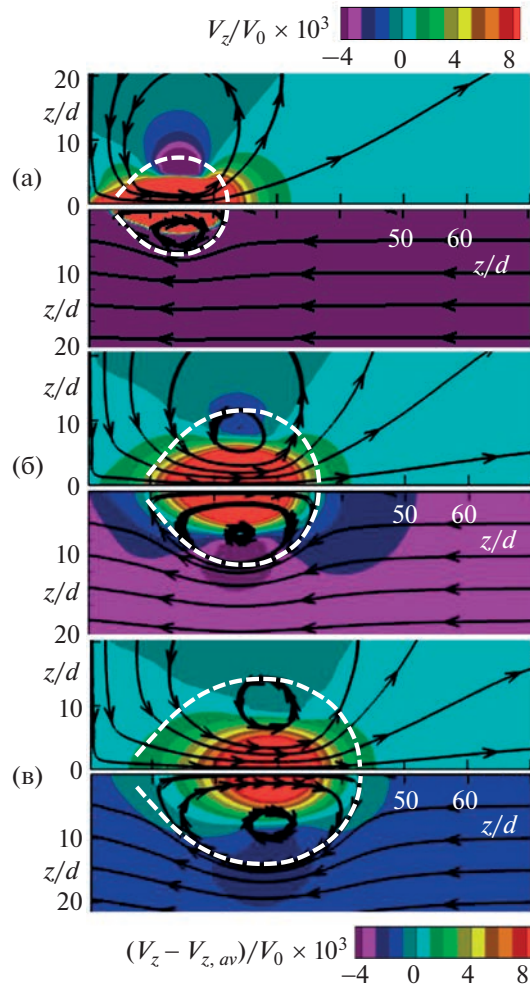


Рис. 3. Картинки течения в абсолютной (сверху) и относительной (снизу) системах координат в различные моменты времени: (а) $t' = 120$, (б) $t' = 600$ и (в) $t' = 1200$.

Таблица 1. Начальные и граничные условия

Переменные	p^*	V_r	V_z	k	ε
Начальные условия	$p^* = 0$	$V_r = 0$	$V_z = 0$	$k = 0$	$\varepsilon = 0$
Граничные условия	1	—	$V_r = 0$	$V_z = V_0(t)$	$k = 3/2(V_0 I_0)^2$
	2	—	$V_r = 0$	$\partial V_z / \partial r = 0$	$\partial k / \partial r = 0$
	3	—	$\partial V_r / \partial z = 0$	$V_z = 0$	$\partial k / \partial z = 0$
4	Вход	$p^* = -\rho V_n^2 / 2$	$\partial V_n / \partial n = 0, V_\tau = 0$	$k = 3/2(VI_0)^2$	$\varepsilon = C_\mu k^2 / v(v_t/v)$
	Выход	$p^* = 0$	$\partial V_n / \partial n = 0, \partial V_\tau / \partial n = 0$	$\partial k / \partial n = 0$	$\partial \varepsilon / \partial n = 0$

Таблица 2. Входные значения характеристик турбулентности

№	$I_0, \%$	v_{t0}/v	k_0/V_0^2	$\varepsilon_0 d/V_0^3$
1	0.5	0.1	3.8×10^{-5}	3.8×10^{-6}
2	5	10	3.8×10^{-3}	3.8×10^{-4}
3	10	50	1.5×10^{-2}	1.2×10^{-3}

$\Omega_{\max} = (\partial V_z / \partial r - \partial V_r / \partial z)_{\max}$ — максимальная по модулю завихренность для этого же времени. Пунктирной линией на рисунках отмечена изотаха $V_z = V_c/2$.

В осредненном турбулентном течении, индуцированном импульсной струей, вихревое облако локализуется в области, где достаточно велика окружная компонента завихренности. Картина поля скорости во время истечения импульсной струи ($t' = 24$) соответствует картине истечения нестационарных струй и содержит области ядра и зону смешения. В зоне смешения видны две области повышенной завихренности: вытянутая область (слой смешения) и пятно в зоне торможения струи, которое можно трактовать как зародыш вихревого облака, имеющего форму вихревого кольца (рис. 2а). По завершении истечения струи ($t' = 72$) (рис. 2б) область завихренности, произведенной зоной смешения, смыкается с вихревым кольцом, срединная аксиальная плоскость которого приближается к точке C с максимальной продольной скоростью V_c . К моменту времени $t' = 120$ вихревое облако приобретает форму вихревого кольца (рис. 2в), сечение которого имеет сопоставимые размеры, приблизительно 10×10 безразмерных единиц.

Представляет интерес проанализировать, насколько начальный период формирования вихревого облака подвержен влиянию входных значений турбулентных характеристик импульсной струи, произвольно заданных при постановке задачи. В табл. 2 приведены три набора значений турбулентных характеристик, из которых второй соответствует поставленной выше задаче, а первый и третий — низкому и высокому уровням турбулентности во входном сечении. В таблице приведены параметры I_0 и v_{t0}/v , которые задаются при постановке задачи, и соответствующие безразмерные значения кинетической энергии турбулентности k_0 и скорости диссипации ε_0 , с которыми оперирует вычислительный код.

На рис. 4 показаны распределения интенсивности турбулентности, турбулентной вязкости и продольной скорости в начальный период течения — в период формирования вихревого облака, полученные для разных входных значений характеристик турбулентности. Видно, что много-кратное, почти на три порядка, изменение начальных характеристик турбулентности оказывает заметное локальное влияние только во время истечения струи ($t' = 24$). Влияние на характеристики турбулентности (рис. 4 а, б) ограничено в пространстве областью $z/d < 10$, а влияния на поле скорости даже в этой, близкой к источнику области, практически отсутствует (рис. 4 в). После истечения струи ($t' = 72$) влияние входных значений характеристик турбулентности не прослеживается.

Рисунок 3 представляет картины течения в основной фазе движения сформированного вихревого облака. Представлены три момента времени: $t' = 120, 600$ и 1200 . Цветные карты даны для скоростей, отнесенных к скорости истечения струи, что позволяет наглядно оценить затухание продольной скорости во времени и в пространстве. Карты скорости и линии тока представлены в двух системах координат: в неподвижной системе (верхние половины каждого рисунка) и в си-

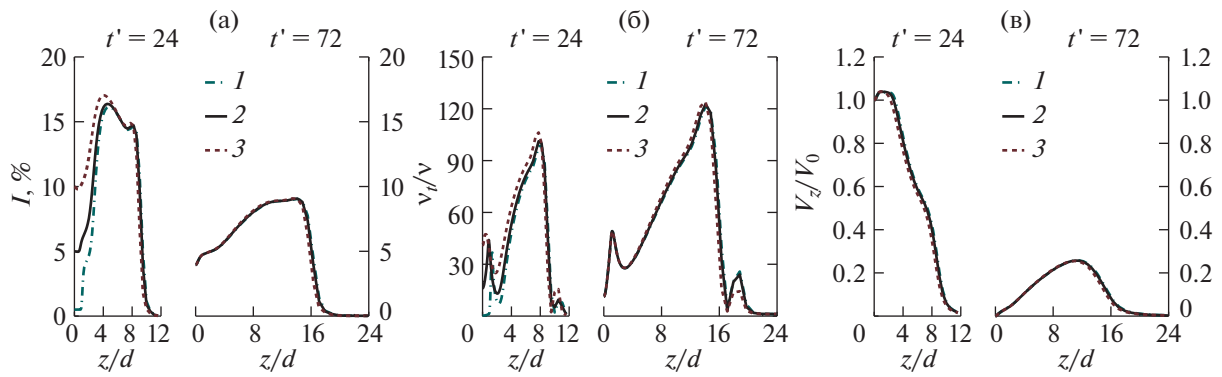


Рис. 4. Распределения параметров потока вдоль оси течения в различные моменты времени ($t' = 24$ и 72): (а) – интенсивность турбулентности, (б) – турбулентная вязкость, (в) – продольная скорость; 1–3 – варианты в табл. 2.

стеме координат, движущейся со средней для каждого момента времени продольной скоростью $V_{z, \text{av}}$ (нижние половины). Скорость $V_{z, \text{av}}$ определяется в каждый момент времени как средняя по объему, внутри которого выполняется условие $|V_z| > 0.01 V_c$.

Линии тока (напомним, из-за нестационарности течения они не совпадают с траекториями) в относительном движении демонстрируют картину обтекания тороидального вихря набегающим однородным потоком. Нулевая линия тока в относительном движении (штриховая линия, продублированная и на верхние половины каждого рисунка) указывает на то, что форма завихренной области течения близка к сферической [22]. Внешнее течение, наведенное вихрем, в относительной системе выглядит как потенциальное, завихренность в этой части потока в относительных единицах не превосходит 10^{-3} . Это позволяет назвать наведенное вихрем течение квазипотенциальным.

Для фазы движения сформированного вихревого облака профили безразмерной продольной скорости V_z/V_c для трех моментов времени показаны на рис. 5. Профили скорости построены вдоль линий А–А и В–В. Линия А–А, перпендикулярная продольной оси z , начинается в точке $C(0, z_c)$, линия В–В расположена на оси вихря. Масштабом для получения безразмерных значений координат в каждый момент времени служит величина $r_s = r_{0.5}(t)$, для которой $V_z(r_s, t) = V_c(t)/2$.

Отметим для всех моментов времени высокую степень совпадения профилей безразмерной скорости вдоль линии А–А и вдоль линии В–В на отрезке от $0 \leq (z - z_c)/r_{0.5} < 4$. На отрезке $-6 < (z - z_c)/r_{0.5} \leq 0$ профиль скорости в момент $t' = 120$ сильно отличается от профилей в моменты $t' = 600$ и 1200 . Профили в моменты $t' = 600$ и $t' = 1200$ отличаются слабо, что свидетельствует о практическом завершении формирования поля скорости в вихревом облаке к моменту $t' = 600$. Это наблюдение согласуется с показанными на рис. 3 формами вихревого облака. В относительном движении наветренная сторона вихря очень близка по форме к сфере, а подветренная сторона вытянута в продольном направлении. Эта вытянутость является следствием формирования вихревого облака в начальной фазе (рис. 2).

На профилях продольной скорости вдоль линии А–А (рис. 5а) можно отметить область возвратного течения, в которой значения скорости V_z отрицательные. По данным рис. 5а центры вихрей, в которых $V_z/V_c = 0$, находятся на одинаковом расстоянии $r/r_{0.5} \cong 1.63$ от продольной оси.

Установленное для основной фазы движения турбулентного вихревого облака подобие полей продольной скорости в переменных $r/r_{0.5}(t)$, $(z - z_c)/r_{0.5}(t)$ и $V_z/V_c(t)$ позволяет говорить об автомодельности вихревого облака во времени и назвать основную фазу его движения фазой автомодельности.

Как было показано во введении, из условия сохранения внесенного в среду струей количества движения следует, что пройденное вихревым облаком расстояние должно отвечать зависимости $L(t) \sim t^{1/4}$. Так как точка с максимальной скоростью $z_c(t)$ находится в центре вихря (рис. 2), ее движение должно отвечать той же зависимости.

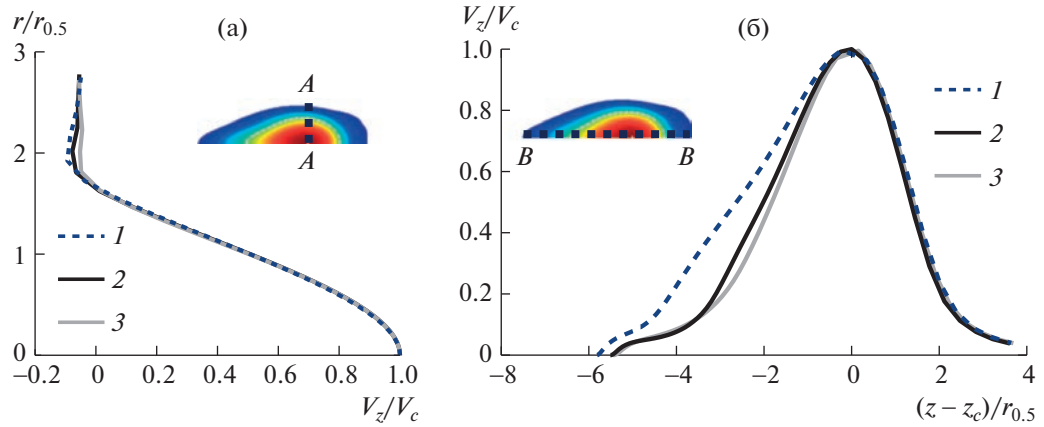


Рис. 5. Профили продольной скорости вдоль линий А–А и В–В в моменты времени: (1) $t' = 120$, (2) $t' = 600$ и (3) $t' = 1200$.

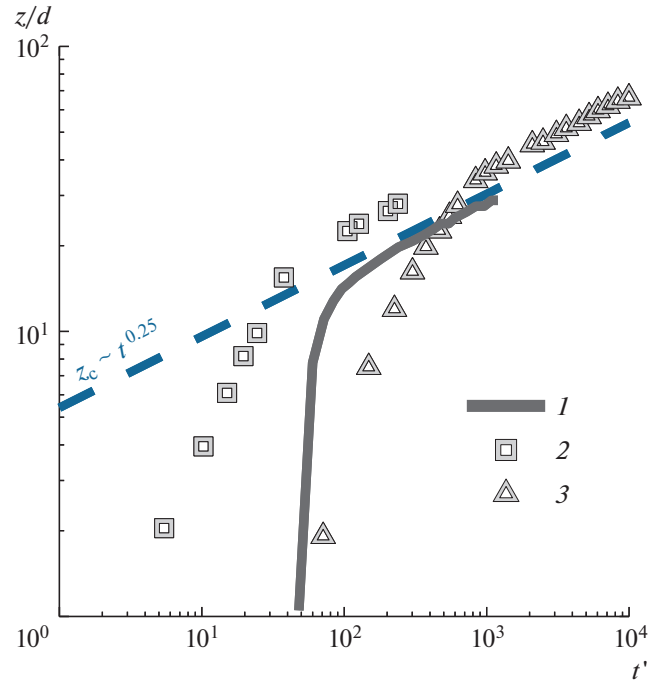


Рис. 6. Изменение во времени положения максимума продольной скорости z_c/d (1 – расчетные данные) и экспериментально отмеченные положения переднего фронта вихревого облака z_f/d [14] (2 – $Re = 3000$ и $P = 4$, 3 – $Re = 12000$ и $P = 5.8$).

На рис. 6 сплошная линия, полученная в расчете, – зависимость положения точки $C(0, z_c)$ от времени. Линия начинается при $t' \cong 50$, когда только что закончилось струйное истечение, и максимум скорости находится вблизи отверстия ($z_c/d = 1$). При $t' \cong 120$ быстрое удаление точки z_c от источника прекращается, и зависимость $z_c(t)$ становится степенной с показателем 0.25. Поведение зависимости $z_c(t)$ позволяет вполне определенно выделить начальную fazу формирования турбулентного облака и fazу автомодельности. Временная граница между fazами для принятых в расчете условий составляет $t' \cong 120$ с момента начала струйного выдува. Действительно, в этот момент на рис. 3 а виден сформировавшийся вихрь, а на рис. 5 профили скорости для $t' = 120$ подобны профилям для $t' = 600$ и $t' = 1200$.

Символы на рис. 6 – экспериментальные данные работы [14], где представлены результаты фоторегистрации распространения фронта (z_f) окрашенного вихревого облака в покоящейся

среде. Данные приведены для условий одного из экспериментов, близких к принятым в настоящей работе: $Re = 3000$ и $P = 4$ (квадратные символы), и для условий $Re = 12000$ и $P = 5.76$ (треугольные символы). Эти значения охватывают весь диапазон, представленный в [14]. Видно, что в фазе автомодельности экспериментальная точка $(0, z_f)$ и расчетная $(0, z_c)$ движутся синхронно по закону $t^{1/4}$, при этом всегда выполняется очевидное неравенство $z_f > z_c$. Увеличение со временем расстояния между этими характерными точками можно связать с увеличением размера вихревого облака ($R(t) \sim t^{1/4}$), что получено в эксперименте и в наших расчетах (рис. 3).

ЧУВСТВИТЕЛЬНОСТЬ ХАРАКТЕРИСТИК ВИХРЕВОГО ОБЛАКА К ОПРЕДЕЛЯЮЩИМ ПАРАМЕТРАМ ИМПУЛЬСНОЙ СТРУИ

Значения безразмерных параметров P и Re определяют основные черты течений, формирующихся при импульсном выдуве струй. В зависимости от значения параметра P может сформироваться вихревое кольцо, вихревое облако (*puff*) или нестационарная струя. В зависимости от значения числа Рейнольдса эти течения могут быть ламинарными или турбулентными. Для базового варианта были выбраны такие значения параметров ($P = 3.63$ и $Re = 3000$), которые позволили проанализировать течение, классифицированное как турбулентное вихревое облако. Анализ течения проводился в безразмерной постановке. Представляется вместе с тем целесообразным дополнить результаты анализа данными, которые будут описывать свойства турбулентного вихревого облака в зависимости от изменения как безразмерных, так и размерных параметров импульсных струй: времени истечения T_0 и скорости истечения V_0 , что позволит непосредственно осуществить перенос полученных результатов на конкретную задачу о выдыжании человеком воздуха при однократном кашле. Варьирование условий истечения выполнено таким образом, чтобы значения P и Re не выходили за пределы, которыми ограничена область существования турбулентных вихревых облаков. Такой же подход реализовался и в экспериментальных исследованиях [14], но в силу понятных причин численное моделирование предоставляет более широкие возможности для многопараметрического исследования по сравнению с экспериментом.

Ниже представлены результаты параметрических расчетов для пяти вариантов с различными начальными условиями формирования вихревого облака (табл. 3). Вариант 1 – базовый, на примере которого выше были рассмотрены особенности формирования и движения вихревого облака. Варианты 2–5 иллюстрируют влияние числа Рейнольдса и условий выдува струи на исследуемое течение. В них параметр P принимает близкие к варианту 1 значения ($3 \leq P \leq 3.8$), значения Re находятся в диапазоне $(3 \dots 12) \times 10^3$, см. табл. 3. Для формулировки конкретной размерной постановки приведенные в табл. 3 размерные величины (T_0 и V_0), характеризующие импульсные струи, следует дополнить величинами вязкости среды ($\nu = 1.6 \times 10^{-5} \text{ м}^2/\text{с}$) и диаметра отверстия ($d = 0.02 \text{ м}$). Приведенный в таблице импульс струи определен как $I_0/\rho = 0.25\pi d^2 L_0 V_0$ [23]. Для варианта 2 скорость истечения зависит от времени $V_0 = f(t)$ так, как было принято в серии работ [6, 7, 16–19], выполненных по теме моделирования острых респираторных явлений. Функция $f(t)$ приближенно описывает зависимость скорости воздуха, вытекающего из рта человека при однократном кашле. В период от 0 до 0.15 с $f(t) = 32t$, т.е. скорость увеличивается от 0 до 4.8 м/с , далее в период от 0.15 с до $T_0 = 0.4 \text{ с}$ скорость уменьшается $f(t) = 4.8 \cdot (1 - 4 \cdot (t - 0.15))$ и при $t \geq T_0$ $f(t) = 0$. В этом варианте среднее значение скорости за время T_0 равно 2.4 м/с , т.е. такое же, как и для варианта 1, в котором скорость постоянна. Время истечения ($T_0 = 0.4 \text{ с}$) в вариантах 1 и 2 одинаковое. Скорость истечения принята постоянной и для вариантов 3–5. Обратим внимание, что для вариантов 1, 2 и 3 величина $L_0 = V_0 T_0$ одинакова (0.96 м , объем вытекающего воздуха 0.3 л), при этом время истечения T_0 для вариантов 1 и 3 отличается в четыре раза. Для варианта 4 скорость истечения V_0 несколько увеличена по сравнению с вариантом 1. Для варианта 5 величина I_0/ρ та же, как для варианта 4, при увеличенной скорости истечения и уменьшенном времени. В целом каждый из размерных параметров импульсной струи изменяется в четыре раза по сравнению с базовым вариантом 1.

На рис. 7 показаны безразмерные профили продольной скорости для момента времени $t' = 600$ и всех рассчитанных вариантов. Видно, что для всех вариантов к этому моменту времени наступила фаза автомодельности. В автомодельных переменных профили $V_z/V_c(r/r_{0.5})$ практически идентичны, а профили $V_z/V_c((z - z_c)/r_{0.5})$ несколько различаются на подветренной в относительном движении стороне вихревого облака, и это различие вызвано влиянием фактической продолжительности и скорости истечения импульсных струй. Почти полное подобие профилей

Таблица 3. Безразмерные и размерные параметры импульсных струй

Вариант	P	$Re_d \times 10^{-3}$	$V_0, \text{ м/с}$	$T_0, \text{ с}$	$L_0, \text{ м}$	$(I_0/\rho) \times 10^4, \text{ м}^4/\text{с}$
1	3.63	3	2.4	0.4	0.96	7.235
2	3.63	3	$f(t)$	0.4	0.96	7.235
3	3.63	12	9.6	0.1	0.96	29
4	3.8	3.46	2.77	0.4	1.108	9.64
5	3	6.93	5.54	0.1	0.554	9.64

продольной скорости для всех рассчитанных вариантов позволяет считать, что основу структуры турбулентных вихревых облаков составляют тороидальные вихри, форма которых в относительном движении приближена к сферической.

На рис. 8 показаны полученные в расчетах зависимости от времени геометрических характеристик вихревых облаков: положения точки с максимальной скоростью $(0, z_c)$ (рис. 8а) и радиуса сферы R (рис. 8б), эквивалентной по объему области, внутри которой модуль продольной скорости больше $0.01V_c$. Масштабом радиуса R служит величина $R_0 = (3d^2L_0/16)^{1/3} = d \cdot P$, которая определена из объема среды, выпущенной импульсной струей.

На рис. 9 приведены расчетные данные зависимости от времени максимальной и средней скорости распространения вихревого облака. На каждом рисунке штриховыми прямыми линиями изображены степенные зависимости с показателями 0.25 для линейных величин и -0.75 для скоростей, которые аппроксимируют расчетные зависимости на преобладающем отрезке рассчитанного интервала физического времени, для всех вариантов равного 10 с. Для начального времени $t' = O(10^2)$ поведение расчетных зависимостей отлично от степенного закона, так как при малых временах течение носит переходный характер от импульсной струи к вихревому облаку.

Аппроксимирующими линиям на рис. 8 отвечают уравнения $R/R_0 = t^{0.25}$ и $z_c/d = 5.4t^{0.25}$, из которых следует, что $R/R_0 = 0.185(z_c/d)$. Обработка данных для всех вариантов позволила получить соотношение $R/z_c = 0.75$, которое справедливо в диапазоне $10 < z_c/d < 50$.

Данным для скоростей на рис. 9 удовлетворяют степенные зависимости $V_{z, \text{av}}/V_0 = 0.4t^{-0.75}$ и $V_c/V_0 = 3.2t^{-0.75}$, из которых следует, что на основном временном интервале $V_c/V_{z, \text{av}} = 8$. Постоянство соотношения между максимальными и средними скоростями в каждый момент времени согласуется с подобием профилей скорости, продемонстрированным на рис. 5 и 7. На основном участке, при $t' > 100$ положение точки, где скорость максимальна, и значение этой скорости связаны приближенной формулой $(z_c/d)^3(V_c/V_0) \approx 500$.

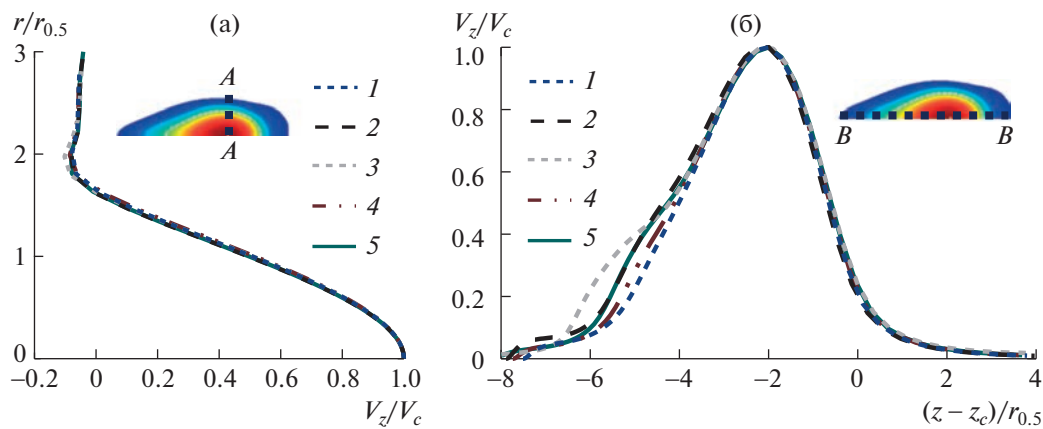


Рис. 7. Варианты 1–5: профили продольной скорости вдоль линий А–А (а) и В–В (б) для $t' = 600$.

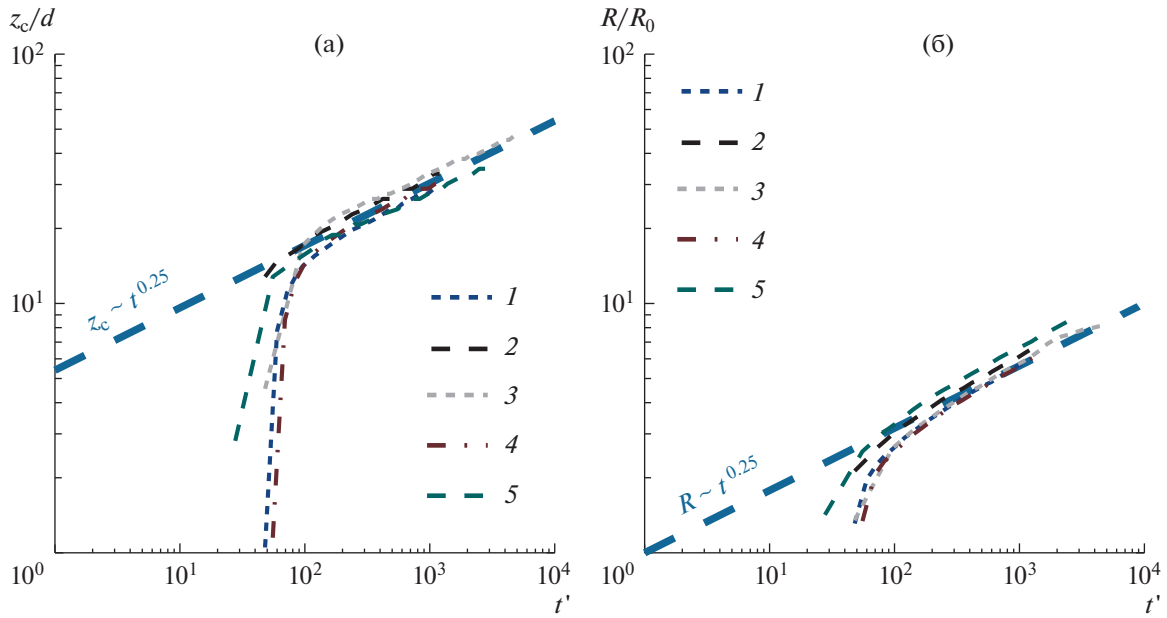


Рис. 8. Изменение во времени положения максимума продольной скорости и эквивалентного радиуса вихревого облака, 1...5 – расчетные варианты.

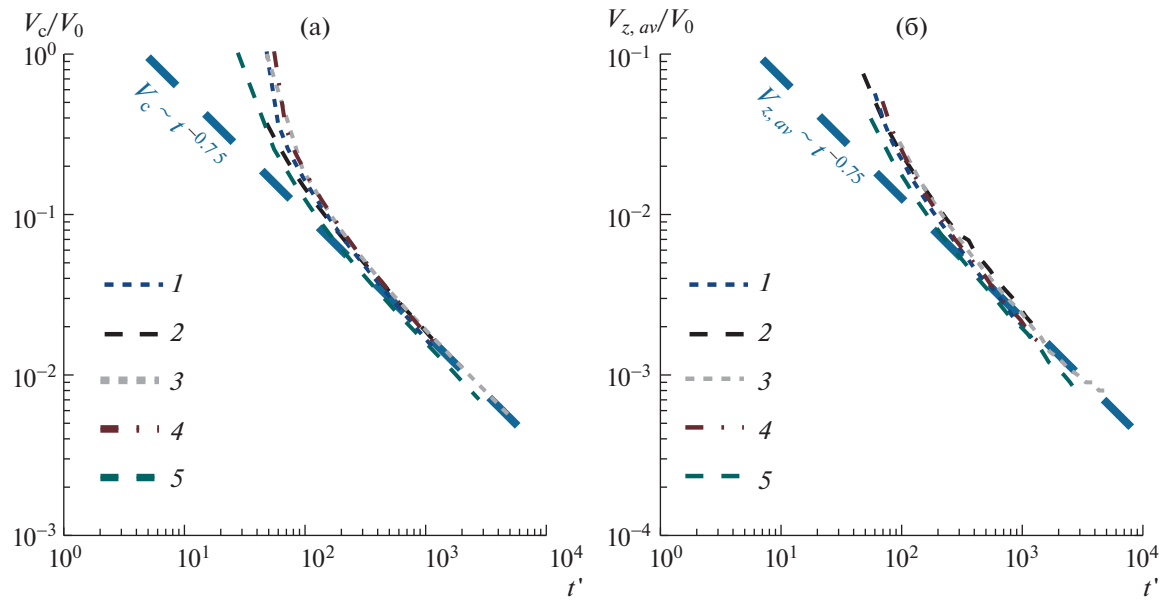


Рис. 9. Изменения во времени максимальной и средней продольной скорости, 1...5 – расчетные варианты.

Вариация условий истечения импульсных струй (табл. 3) не оказала существенного с практической точки зрения влияния на характеристики течения при значениях безразмерного времени в диапазоне $t' \sim O(10^2 \dots 10^3)$. В рассчитанных вариантах для характеристик (z_c/d , R/R_0 , V_c/V_0 и $V_{z,av}/V_0$), показанных на рис. 8 и 9, различие в величинах от варианта к варианту не превосходит 25%.

В табл. 4 для всех вариантов сведены параметры, которые характеризуют течение по прошествии десяти секунд после начала выдува струй.

Сопоставляя данные табл. 3 и 4, можно заключить, что размерные характеристики вихревых облаков в табл. 4 коррелируют с динамическими параметрами импульсных струй: скоростью ис-

Таблица 4. Характеристики течения при $t = 10$ с

Вариант	z_c , м	R , м	V_c , см/с	$V_{z, \text{av}}$, см/с
1	0.58	0.47	3.4	0.4
2	0.66	0.51	3.9	0.5
3	0.95	0.64	5.5	0.7
4	0.63	0.51	3.8	0.4
5	0.69	0.53	3.9	0.4

течения и импульсом. Скорость истечения может играть даже превалирующую роль, что следует из сопоставления вариантов 1 и 2. Для обоих вариантов средние за время истечения скорости равны, но для варианта 2, в котором максимальная скорость составляет 4.8 м/с, все характеристики течения (табл. 4) выше, чем для варианта 1. В целом можно отметить, что существенное изменение начальных условий от варианта к варианту приводит к различиям размерных характеристик вихревого облака через десять секунд после начала истечения импульсной струи ($t' \geq 10^3$), не превышающим 40%.

ЗАКЛЮЧЕНИЕ

Представлены результаты численного моделирования турбулентного вихревого облака, возникшего в результате выдува импульсной струи с различной скоростью и продолжительностью выдува. В рамках принятой модели в среднем нестационарного осесимметричного течения с изотропной турбулентной вязкостью определены две фазы течения: начальная фаза и фаза автомодельности. Продолжительность начальной фазы составили время истечения струи и время образования вихревого турбулентного облака. В относительном движении со скоростью, равной мгновенной осредненной по объему скорости вихревого облака, структуру облака можно представить состоящей из тороидального вихря с формой, близкой к сферической, и наведенного вихрем почти потенциального потока. Для принятых условий нормированная длительность начальной фазы составила величину $O(10^2)$, длительность фазы автомодельности – $O(10^3)$. Для фазы автомодельности определены переменные подобия $r/r_{0.5}(t)$, $(z - z_c)/r_{0.5}(t)$ и $V_z/V_c(t)$. На протяжении этой фазы поля продольной скорости $V_z/V_c(t)$ в вихревом облаке практически идентичны при всех рассмотренных наборах параметров импульсной струи. В фазе автомодельности расчетные данные, определяющие характерный размер вихревого облака $R(t)$, положение точки с максимумом скорости в облаке $z_c(t)$, изменение во времени максимальной $V_c(t)$ и средней $V_{z, \text{av}}(t)$ скорости облака, согласуются со степенными законами, вытекающими из условия сохранения количества движения, внесенного импульсной струей.

Авторы благодарят профессора Е.М. Смирнова за ценные советы и замечания.

СПИСОК ЛИТЕРАТУРЫ

1. Nazaroff W.W. Indoor aerosol science aspects of SARS-CoV-2 transmission // Indoor Air. 2022. V. 32. № 1. P. 1–13.
<https://doi.org/10.1111/ina.12970>
2. Bu Y., Ooka R., Kikumoto H., Oh W. Recent research on expiratory particles in respiratory viral infection and control strategies: A review // Sustainable Cities and Society, 2021. V. 73. P. 1–16.
<https://doi.org/10.1016/j.scs.2021.103106>
3. Gupta J.K., Lin C.-H., Chen Q. Flow dynamics and characterization of a cough // Indoor Air. 2009. V. 19. № 6. P. 517–525.
<https://doi.org/10.1111/j.1600-0668.2009.00619.x>
4. Bourouiba L. The fluid dynamics of disease transmission // Annual Review of Fluid Mechanics. 2021. V. 53. P. 473–508.
<https://doi.org/10.1146/annurev-fluid-060220-113712>
5. Mazzino A., Rosti M.E. Unraveling the secrets of turbulence in a fluid puff // Phys. Rev. Lett. 2021. V. 127. № 9. P. 1–6.
<https://doi.org/10.1103/PhysRevLett.127.094501>

6. *Fabregat A., Gisbert F., Vernet A., Dutta S., Mittal K., Pallarès J.* Direct numerical simulation of the turbulent flow generated during a violent expiratory event // Physics of Fluids. 2021. V. 33. P. 1–12.
<https://doi.org/10.1063/5.0042086>
7. *Fabregat A., Gisbert F., Vernet A., Ferré J.A., Mittal K., Dutta S., Pallarès J.* Direct numerical simulation of turbulent dispersion of evaporative aerosol clouds produced by an intense expiratory event // Physics of Fluids. 2021. V. 33. P. 1–13.
<https://doi.org/10.1063/5.0045416>
8. *Ghaem-Maghami E., Johari H.* Concentration field measurements within isolated turbulent puffs // ASME. J. Fluids Eng. 2007. V. 129. P. 194–199.
<https://doi.org/10.1115/1.2409348>
9. *Ахметов Д.Г.* Вихревые кольца. Ин-т гидродинамики СО РАН. Новосибирск. Академ. изд-во “Гео”. 2007. 151 с.
10. *Никулин В.В.* Массообмен между атмосферой турбулентного вихревого кольца и окружающей средой // Изв. РАН. МЖГ. 2021. № 4. С. 33–40.
<https://doi.org/10.31857/S0568528121040101>
11. *Andriani R., Coghe A., Cossali G.E.* Near-field entrainment in unsteady gas jets and diesel sprays: A comparative study // Symposium (International) on Combustion. 1996. V. 26. № 2. P. 2549–2556.
[https://doi.org/10.1016/s0082-0784\(96\)80087-7](https://doi.org/10.1016/s0082-0784(96)80087-7)
12. *Kovasznay L.S.G., Fujita H., Lee R.L.* Unsteady Turbulent Puffs // Adv. Geophys. 1975. V. 18. Part B. P. 253–263.
[https://doi.org/10.1016/S0065-2687\(08\)60584-1](https://doi.org/10.1016/S0065-2687(08)60584-1)
13. *Richards J.M.* Puff motions in unstratified surroundings // J. Fluid Mech. 1965. V. 21. № 1. P. 97–106.
<https://doi.org/10.1017/S002211206500006X>
14. *Sangras R., Kwon O.C., Faeth G.M.* Self-preserving properties of unsteady round nonbuoyant turbulent starting jets and puffs in still fluids // ASME. J. Heat Transfer. 2002. V. 124. № 3. P. 460–469.
<https://doi.org/10.1115/1.1421047>
15. *Ghaem-Maghami E., Johari H.* Velocity field of isolated turbulent puffs // Physics of Fluids. 2010. V. 22. P. 1–13.
<https://doi.org/10.1063/1.3504378>
16. *Засимова М.А., Иванов Н.Г., Рис Б.В.* Нестационарная диффузия вирусных частиц в импульсной струе, формируемой в процессе кашля // XVI Минский международный форум по тепло- и массообмену. Тез. докл. и сообщений. Минск: ИТМО им. А.В. Лыкова. 2022. С. 251–255.
17. *Zasimova M., Ris V., Ivanov N.* CFD modelling of a pulsed jet formed during an idealized isolated cough // E3S Web of Conferences 2022. V. 356. P. 1–4.
<https://doi.org/10.1051/e3sconf/202235605024>
18. *Засимова М.А., Иванов Н.Г., Рис Б.В.* URANS и LES моделирование начальной стадии распространения каплесодержащей воздушной струи, характерной для острых респираторных явлений // М.: Изд. МЭИ. Материалы 8-ой РНКТ. 2022. Т. 1. С. 435–438.
19. *Pallarès J., Fabregat A., Lavrinenko A., et al.* Numerical simulations of the flow and aerosol dispersion in a violent expiratory event: Outcomes of the “2022 International Computational Fluid Dynamics Challenge on violent expiratory events” // Physics of Fluids. 2023. V. 35. P. 1–22.
<https://doi.org/10.1063/5.0143795>
20. *Yakhot V., Orszag S.A.* Renormalization group analysis of turbulence. I. Basic theory // Journal of Scientific Computing. 1986. V. 1. P. 3–51.
<https://doi.org/10.1007/BF01061452>
21. *Yakhot V., Orszag S.A., Thangam S., Gatski T.B., Speziale C.G.* Development of turbulence models for shear flows by a double expansion technique // Physics of Fluids. 1992. V. 4. P. 1510–1520.
<https://doi.org/10.1063/1.858424>
22. *Бэтчелор Дж.* Введение в динамику жидкости. Пер. с англ. М.: изд-во “Мир”. 1973. 760 с.
23. *Glezer A., Coles D.* An experimental study of a turbulent vortex ring // J. Fluid Mech. 1990. V. 211. P. 243–283.
<https://doi.org/10.1017/S0022112090001562>